

上海集郵家研究會

上海集郵家研究會編

井底車輪圖說

煤炭工业出版社

井底車場設計圖冊

上海礦業設計院編

252.2
564-2
14

0168798

內容摘要

本書共分二部分，第一部分全面地闡述了井底車場的設計原理。其中，對井底車場的型式作了合理的分類和分析，系統地介紹了井底車場軌道線路的平面布置及其橫斷面的計算，特別是對中央式暨井筒兼管的相互位置與井底車場的關係進行了專門的研究。設計中常用的計算公式和各種系數均已匯編成表，有助於設計人員提高工作效率。

第二部分收集了二十余種具有代表性的鐵路新礦井的井底車場詳圖，便于設計參考。

除設計人員外，本圖集也可供基建人員及礦業學院師生參考。

1228

井底車場設計用圖

上海煤礦設計院編

煤炭工業出版社出版(社址：北京東長安街煤炭工業部)
北京市審刊出版業許可證出字第064號
煤炭工業出版社印刷厂排印 新華書店發行

开本860×1168公厘 $\frac{1}{2}$ 印张9 $\frac{3}{8}$ 插页2 字数109,000
1959年9月北京第1版 1963年9月北京第1次印刷
统一书号：15035·901 印数：0.001—3,000册 定价：1.65元

前 言

几年来，我国的煤矿设计技术在党的领导和苏联无私的援助下，有了很大的进步。本书能够出版，首先应当归功于苏联专家对我们的亲切指导；此外，在设计技术上我们也经常得到各兄弟院的帮助，在本图册中也有他们的劳动成果。

井底车场是建井工程中的主要部分之一，不論是在設計或施工中，其工程量都占相当大的比重。至于有关同志都迫切的希望能見到一本講述井底車場設計原理的書籍，所以我們編成本書。由于我們的設計技术水平低，生产实践知識少，对某些理論性問題缺乏研究，以及由于目前各設計院对某些个别的技术原則和設計方法尚不完全統一，本書未能充分的将各兄弟院宝贵的設計經驗一一列入，我們誠懇的希望讀者对本書的缺点和不当之处来信指出。

本書基本上是按照設計程序編排的，內容力求精簡、具体、实用，对許多常用的計算公式和系数都尽可能汇編成表，讀者可以直接查用。本書还附有二十余种具有代表性的我国各新建矿井的井底車場詳图，以供参考。

本書的設計原理部份由戴天全同志編著，图冊部份由趙志聖同志汇編，張務逸同志参加了第六章和第七章的編寫工作。此外，在編寫过程中，黃亞熙和劉子萱工程师，趙孝若、周人龍、張務逸、徐應樵、彭鍊全、朱文良等同志參加了組織和審訂工作。本書的图、表主要由常羅餐同志計算，由王海江和陳洪興等同志繪制。

上海煤礦設計院采礦處

1958年5月

录

目

前言	第一部分	井底車場設計原理
第一章	井底車場的型式	3
第1节	豎井井底車場的基本型式	3
第2节	斜井井底車場的基本型式	3
第3节	井底車場形式的选择	5
第二章	軌道線路連接系統	7
第1节	鋼軌及道岔	7
第2节	弯道及其連接的类型和計算	7
第3节	道岔与弯道的連接	9
第三章	軌道線路总平面布置	14
第1节	升筒相互位置的計算	22
第2节	儲車場長度的確定	22
第3节	井筒相互位置与儲車場長度的关系	26
第4节	总平面布置的計算	35
第四章	軌道線路斷面的計算	39
第1节	矿車的运行阻力和自动旅行	39
第2节	馬頭門鏈條的位置和計算	41
第3节	儲車場的坡度	46
第五章	井底車場的通过能力	47
第1节	調度图表的編制	47
第2节	通过能力的計算	51
第六章	井底車場巷道	52
第1节	巷道斷面的確定	52
第2节	支架方式的选择及其計算	55
第3节	碹包	57
第七章	場內峒室平面布置	75
第1节	布置硐室的原則	75
第2节	水仓和清理井底斜巷的計算	77
第二部分	井底車場設計參考圖(第79頁以後)	

第一部份 井底車場設計原理

第一章 井底車場的型式

井底車場是由若干連接和環繞井筒的巷道組成，是井下运输的樞紐站。采出的全部矿产均需由此轉井筒提升到地面。从地面向井下运送各种设备和材料也要通过井底車場。

井底車場是由下列幾路組成：

1. 儲車線——即容納空、重車輛的專用線路。其中包括主要提升井筒（輔助提升井筒）的重車線和空車線，副井（輔助提升井筒）的重車線和空車線，以及停放材料車的支線。矸石如用專門的箕斗提升時，停放矸石車的線路也屬於儲車線。

2. 行車線——即調度空、重車輛的運行線路。如連接主副井的空、重車線的繞道，調車支線等。供礦車出入罐籠的馬頭門（罐籠井筒與井底車場連接部分）線路，也應屬於行車線。除上述主要線路以外，在井底車場內還設有各種輔助線路。如水倉通道，清理箕斗井底的斜巷及其通道，通向各峒室的橫路等。此外，開凿于井底車場內的各种洞室，也是組成井底車場的主要部分。

按井筒的類型，井底車場分為豎井的和斜井的兩大類。其中豎井井底車場又分為箕斗井的、罐籠井的和兩者兼備的。斜井井底車場又分為串車提升的、箕斗提升（或运输機）的和兩者兼備的。按井底車場范圍內井筒的數目，又可以分為單井筒的車場和雙井筒的車場。

第1節 豊井井底車場的基本型式

在目前的設計中，年產量三十萬噸以上的豎井，多半是采用環形的井底車場，或者副井的儲車線是尽头的，而主井的儲車線仍然是環形的。仅在矿井生产能力很小，或矿车不允許反向時，才采用尽头式的运输系統。

根據井底車場內連接空、重車線的繞道對主要运输巷道（平巷或石門）的利用程度，環形豎井井底車場可分為“臥式”、“斜式”和“立式”三種基本類型。

臥式車場的特點是全部利用主要运输巷道作為車場的道。正規的臥式井底車場的馬頭門線路平行於主要运输巷道。

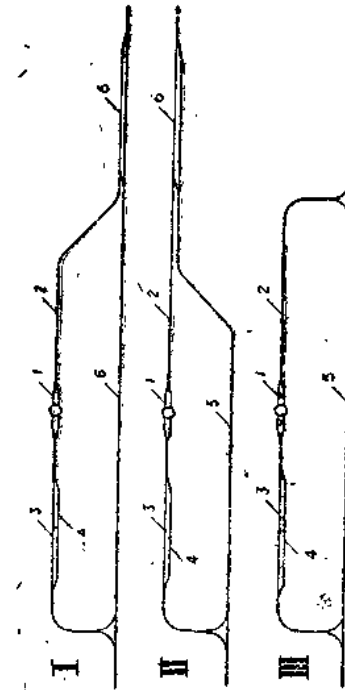


图 1 一个縱橫井筒的臥式井底車場

图 1 是單井筒的臥式車場。双軌的馬頭門線路（1）表示在井筒內裝有两个罐籠。馬頭門線路的右側直接與重車線（2）相連，左側是空車線（3），其旁邊設有材料車支線（4）。I 和 II

形在車場的右端設有調車支線(6)。从右翼來的列車駛入調車
線以後，機車頭需繞行到列車的尾部才能將列車頂入重車線。
从左翼來的列車經繞道(5)駛入調車線以後，可以直接將列車
頂入重車線。Ⅲ形沒有調車支線，重車線與繞道之間也是用三
角道來連接，因此，其調車較為簡便。但Ⅰ和Ⅱ形的調車支線
對於重車線具有“緩沖”的作用，也就是說，當重車線上車滿
的時候，列車照常可以進入車場，機車頭仍然可以繞行到空車
線去拉運空列車駛出車場。此外，當矿井的生產能力不大時，
還可以利用調車支線作為重車線的一部份，以縮短儲車線的長
度。這些都是Ⅲ形不可能具有的優點。Ⅳ形的調車支線與繞道
不在同一直線上，因此只有當井底車場是開凿於兩個煤層或煤
層群之間，儲車線與煤層走向垂直時，才能採用這種形式。其
繞道和調車支線代替了兩個煤層或煤層群之間的貯存石門。

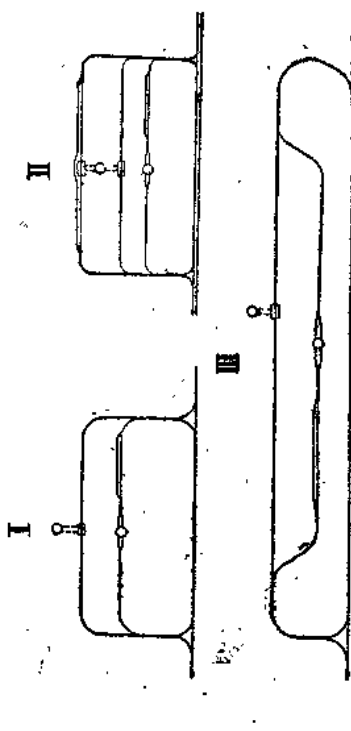


图 2 双井筒的风式井底车场

图 2 表示井底车场范围内具有一个箕斗井筒(主井)和另一个罐笼井筒(副井)。两个井筒各设自己专用的空、重车储车线。若主井也是用罐笼提升，则除在主井储车线上增加一段駁头門線以外，对井底车场的形式并无任何改变。I形是中、

小型矿井最常用的一种形式。Ⅱ形是因为在主井筒内同时还裝設有提升矸石的箕斗，因而專門設置了一条停放矸石車的空、重車線。此外，为了增加井底車場的通過能力，增設了一条平行于主井儲車線的繞道。机車頭頂載重列車入主井重車線以后，不需要再繞行整个井底車場即可由此到达主、副井的空車線，因而大大地减少了机車的調度時間。这种車場能够滿足大型矿井所需求的通過能力。Ⅲ形是新建矿井很少运用的一种形式。

斜式井底車場只能局部利用主要运输巷道作为車場的繞道。空車線与主要运输巷道之間，还需要另开凿一条繞道，才能将整个井底車場連接起来。

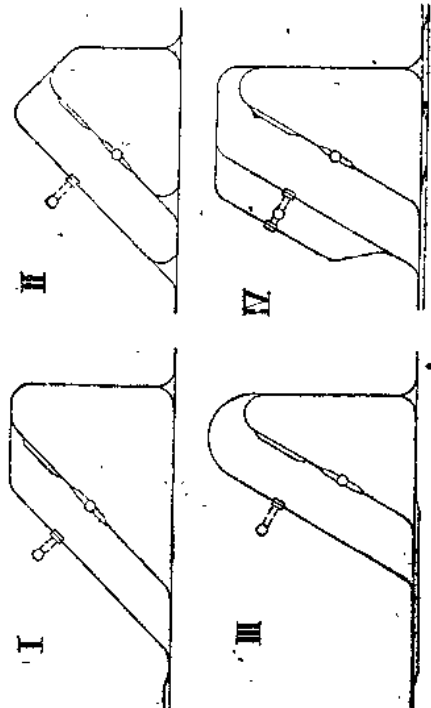


图 3 斜式井底车场

图 3 是四种不同形式的双井筒斜式車場。它們的基本区别在于主、副井空車線之間，以及主、副井空車線与繞道之間的連接方式各不相同。Ⅰ形的頂部是平的；Ⅱ形的頂部是斜的；Ⅲ形的頂部是半径相当大的圓弧；Ⅳ形的頂部也是平的，但其副井空車線与繞道的連接方式与Ⅰ形不同。

至于井筒或儲車線的數目，主、副井重車線與繞道的連接方式，以及繞道上是否有調車支線、或者是雙軌繞道等，都不能視為區分斜式車場的基本特徵，因為它們并不影響整個井底車場繞道的結構，而僅取決于車場的通過能力。

圖 3 所表示的主井都是箕斗井筒。其實，也可以是罐籠井筒。此時除多一段井底馬頭門線路以外，對井底車場線路的結構不會引起形式的改變。此外，如果把圖中的主井及其儲車線去掉，則是三種不同形式的單井筒的斜式車場。儲車線與繞道的位置可以互換，即儲車線垂直于主要運輸巷道；而繞道與主要運輸巷道斜交。或兩者均垂直于主要運輸巷道（圖 4）。

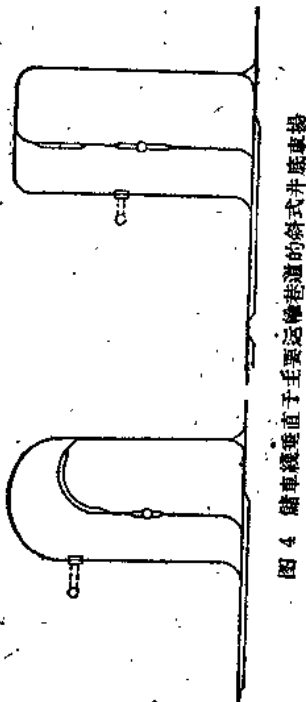


圖 4 儲車線垂直于主要運輸巷道的斜式井底車場

立式井底車場不能完全利用主要運輸巷道作為車場的繞道。正規的立式井底車場的馬頭門線路垂直于主要運輸巷道。圖 5 的四種形式在線路的結構上無基本的區別。I 形是單井筒的。II 形表示在一個井筒內同時裝設有提煤的箕斗和作輔助提升的單罐籠。為了增加井底車場的通過能力，繞道和主要運輸巷道之間設有一條專供空列車駛出車場的通道。III 形是一般中、小型矿井最常用的一種形式，在儲車線與主要運輸巷道之間設有調車支線。當井筒在運輸水平遠離主要運輸巷道、其

間需用很長的石門來連接時，最宜采用這種立式車場。IV 形象一條研石車線，也有調車支線。如果，在調車支線上專門設置一台調度電機車，則這個車場的通過能力是相當大的。

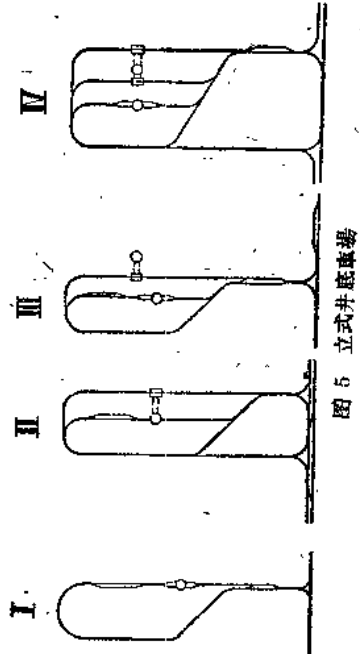


圖 5 立式井底車場

以上各圖所介紹的環形式暨井底車場，仅仅是極少數幾種所謂正規的形式。在實際運用中，由於具體條件不同，個別線路的結構是變化無常的。本圖冊主要是向讀者介紹我國的許多新建矿井所採用的井底車場的形式。

通風水平的井底車場多半是尽头式，運輸量很大時也可以採用環形式。本圖冊也收集有通風水平的環形式車場。

第 2 节 斜井井底車場的基本型式

根據井底車場內調度車輛的方式，斜井底車場分為“頂車式”和“環形式”兩種基本類型。

頂車式井底車場內，空、重車輛的調度均借助于調車支線。圖 6 是兩種典型的雙面頂車的斜井車場。I 形的主井（1）是採用雙鉤（雙軌）串車提升，利用主要運輸平巷作儲車線；副井（2）是單鉤提升，其儲車線開凿于主要運輸平巷的頂板或底板內。II 形表示主井是用双箕斗提升，為了便於布置箕斗裝載

设备硐室，主井儲車線開凿于主要平巷的頂板或底板內（若主井与主要平巷不在同一斜面則不受此限制）；副井是双鉤提升，儲車線設于主要平巷內。

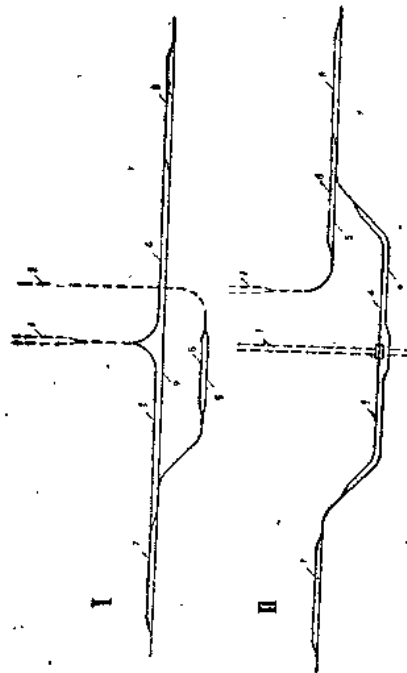


图 6 頂車式井底車場

I形和II形的調車方式完全相同：从左翼駛入車場的載重列車進到調車支線(7)以後，機車頭駕駛到列車的尾端才能將列車頂入主井重車線(3)。同样，機車頭經繞道(9)到主井空車線(4)拉出空列車以後，也要利用調車支線(8)調換方向。但从右翼來的列車其調車極其簡便：載重列車經繞道(9)駛入調車支線(7)以後，就可以直接將列車頂入主井重車線。反回到主井空車線拉運空列車時，也不需要調換機車頭的方向。因此，從右翼來的列車在車場內調度的時間比左翼列車要短很多。如果左翼來的樣量比右翼多，則圖中空、重車線的位置應當互換。但到副井儲車線調度車輛時，左翼和右翼列車的調度時間是相同。圖中(5)為副井重車線，(6)為副井空車線。

圖7是井底車場範圍內只有一個井筒，或雖有兩個井筒但其中一個不作提升用時的頂車式車場。I和II形表示井筒內是

雙鉤串車提升，III和IV形是單箕斗（或雙箕斗）提升。IV形表示井筒與儲車線（主要運輸平巷）不在同一斜面內。

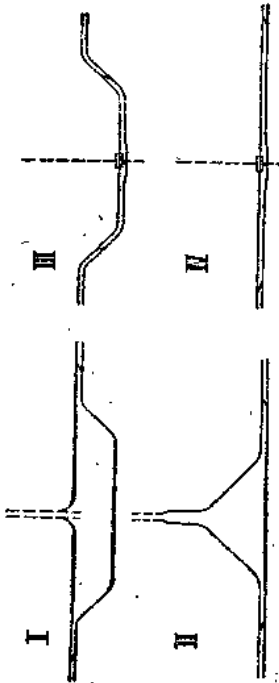


图 7 單井筒的頂車式井底車場

環形式斜井車場的線路結構和調車方式與环形式豎井車場基本相同。并且也可以分为臥式、斜式和立式三种基本类型。因此，不再作重复的介绍。图8的Ⅲ形表示斜井是沿煤層的傾斜方向開凿的。

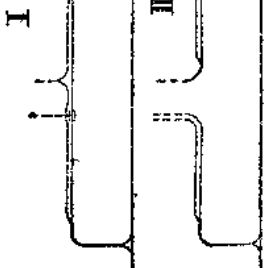


图 8 臥式斜井車場

在本圖冊內，對斜井車場的形式收集得很少。但讀者可以根據這些基本形式和第三節所述的原則，擬訂適合于矿井具體條件的線路結構和調度系統。

此外，我們還可以向讀者推薦，沈陽煤矿設計院的同志們，對斜井底車場的設計，富有許多寶貴的經驗。

第3节 井底車場形式的选择

合理选择井底車場的形式，是設計井底車場的首要問題。現將確定井底車場形式的主要因素分列于下。

1. 矿井的生产能力；
2. 井田的开拓方式和通风系統；
3. 根据地面的地形、铁路、风向等因素所确定的矿井地面生产系统的布置方式；
4. 井底車場范围內井筒的数目及其相互位置；井筒內提升容器器的类型及其布置方式；
5. 主要运输巷道和井底車場內的运输方式；运输机械的类型和机械化程度；

反之，所选择的井底車場，必須滿足下列各項要求。

1. 能保證矿井生产能力所需的运输能力；保证所有的輔助提升工作不受任何限制。特別是对大型矿井，在車場的富余能力不多的情况下，必須考慮到当矿井增产时，井底車場能够扩建。
2. 增加井底車場运输能力的主要方法是增添車場內的行車線，以及在必要时設置專門的調度機車或調度電機車。例如，图2 II形主井輪車線旁的機道；图5 II形和IV形的連接機道和主要运输巷道的通道，以及IV形的停放調度電機車的調車支線等，都是为了增加車場的运输能力而設置的。此外，将連接空、重車線的機道鋪設成双轨機道，可以增加井底車場內同时容納的電機車的台數。对大型矿井的車場，应尽量避免使牵引電機車兼作調度之用，以縮短其在車場內逗留的时间。
3. 調車簡單；管理运输所需的工作人員數最少。在保証車軌的運輸能力的条件下，应尽量減少井底車場內运输机械的类型和數量。

3. 操作安全；符合保安規程、技术操作規程和設計技术方面的規定。应尽量避免在緊靠儲車線或轉角大于90度的弯道上頂很长的列车。

4. 1) 单位生产能力所必需的井巷工程量最小。根据第一节对环形式豎井車場的分类和分析，由于臥式車場能充分利用主要运输巷道作繞道，因此其井巷工程量最省（假設主要运输巷道不計算在井底車場的工程量內）。其次是斜式車場。立式車場的工程量最大。頂車式斜井車場的井巷工程量在任何情况下都小于环形式車場。
5. 此外，所选择的井底車場在施工时有可能在极短的时期內使各井筒彼此之間、整个車場与主要运输平巷之間能迅速貫通。

第二章 軌道線路連接系統

當井底車場的形式选定之后，首先是布置和計算軌道線路的平面尺寸。整个井底車場內各線路彼此之間可以按照多种不同的方式进行連接。要計算這些連接点的尺寸，必須把它們解剖成一个一个的元件——即所謂的連接系統。

本章就是講述計算弯道及其与道岔的各种連接系統的方法。

第1节 鋼軌及道岔

現行設計技术方向規定井底車場运输轨道采用下列类型鋼軌：
1. 斜式車場——一般只能滿足中、小型矿井的生产能力。
但若在調車支线上設置調度機車，其运输能力也是相当大的。
2. 調車簡單；管理运输所需的工作人員數最少。在保証車

1. 电机車运输时，采用24公斤/公尺鋼軌；
 2. 日产700吨及700吨以下的矿井，使用載重一吨以下的礦車时，允許采用15公斤/公尺鋼軌。

目前，各設計院(處)在井底車場內採用鋼軌类型的大致情
況如下：

礦車時，允許採用 15 公斤/公尺鋼軌。

目前，各設計院（處）在井底車場內採用鋼軌類型的一致情況如下：

1. 非機車運輸的小型矿井，使用 15 公斤/公尺及其以下的鋼軌；
2. 采用一噸矿車、電機車運輸的中、小型矿井，使用 18 公斤/公尺鋼軌；

3. 采用900公厘軌距時，使用24公斤/公尺鋼軌。

蘇聯現行設計技術標準規定：
底車場內採用33—45公斤/公尺鋼軌。

电气控制与PLC

鋼軌類型	高度 (公厘)	上寬 (公厘)	下寬 (公厘)	厚度 (公厘)	截面積 (平方公分)	每公尺之 理論重量 (公斤)	標準長度 (公尺)	
							7公斤/公尺	12.5公斤/公尺
I	66	25	50	5.6	8.85	6.93	5	5
II	66	25	54	7	10.76	8.42	7	7
III	80.5	32	66	7	14.31	11.20	7	7
IV	91	37	76	7	18.80	14.72	7	7
V	90	40	80	10	23.07	18.06	8	8
VI	107	51	92	10.5	32.70	24.04	8	8
VIIa	120.5	63.5	100	12	39.45	30.89	12.5	12.5
VIIb	128	60	110	12	42.75	33.48	12.5	12.5

通常，道岔的航型采取与钢轨一致。表2是矿用标准道岔的尺寸，表中外文字母代表的尺寸与图9是一致的。

为了节省钢材，在井底车场内也可以考虑采用两种类型的道轨。例如，在采用600公厘轨距、7吨或8吨电机车运输时，

道器號或 道器身號	Sp 鋼種	Fr/ α	a b c	b s i	c t d	(公厘)(公厘)(公厘)(公厘)(公厘)(公厘)	(公厘)(公厘)(公厘)(公厘)(公厘)(公厘)
0							

新編藏經卷之四

对很少运行电机車的鐵車線用 15 公斤/公尺的鋼軌，而道岔和
弯道使用18公斤/公尺的軌型。

第2节 弯道及其连接的类型和計算

弯道的半径

并下轨道線許可的最小弯道半径 R_m ，取决于車輛的輪
距 S_n 和行車速度 v 。其关系式如下：

$$R_{m,n} = C \cdot S_n \text{ 公尺} \quad (1)$$

式中 C ——决定于行車速度的系数；当 $v < 1.5$ 公尺/秒，
 $C = 7$ ； $v > 1.5$ 公尺/秒， $C = 10$ 。此外，当弯
道的轉角大于90度时，无论行車速度如何均采取
 $C = 10$ 。

按(1)式计算出的数值应增加成为以公尺为单位的整数。
現行設計技术方向对井底車場主要运输鐵路的弯道半径規
定为：

1. 600 公厘軌距 12~15 公尺；
2. 900 公厘軌距 15~20 公尺。

对这个规定的两限数值可以这样理解：在很少运行电机車的諸
車線，特别是在空車線上使用下限数值；車輛往来頻繁的行車
線采用上限数值。也即是說，在同一片底車場內主要弯道的半
径不一定相等。

今后，在本图冊内各有关的計算表中，将采取下列弯道半
径(公尺)。

单个矿车运行的 輔助鐵路	电机車运行的主要鐵路	緩和弯道
6, 8, 9	12, 16, 20	30, 35

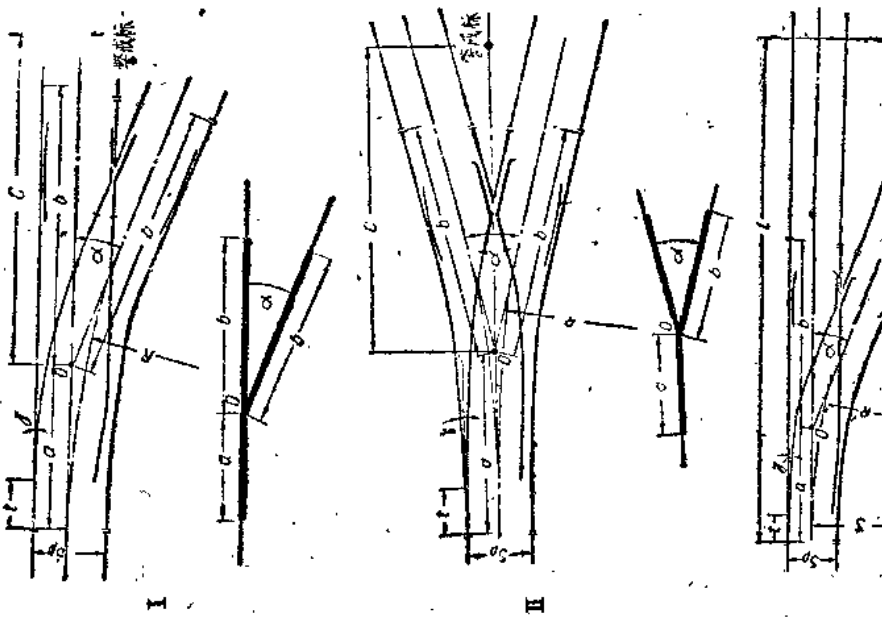


图 9 道岔及其单轨計算圖
I—单轨道岔；II—一对轨道岔；III—单侧岔道。

緩和綫

为了减少車輛在弯道上运行的阻力和增加行車的安全，弯道的外軌需要超高于內軌，軌距也需要加寬。

当弯道与道岔或与另一个方向相反的弯道相連接时，若要使整个弯道都能获得外軌超高和軌距加寬的全值，那末必須在其两相連接之間，舖設一段坡度不大于1%的直線。这一段連接弯道与道岔或連接两异向弯道的傾斜鋼軌，即是所謂的“緩和綫”。

弯道外軌需超高于內軌的數值，按下式計算：

$$\Delta h = 100 \frac{S_p \cdot v^2}{R} \text{ 公厘} \quad (2)$$

式中 S_p —— 軌距，公尺；

v —— 車輛在弯道上运行的速度，公尺/秒；

R —— 弯道半径，公尺。

若取緩和綫的坡度等于1%，車輛在弯道上运行的速度低于2公尺/秒，則緩和綫的長度

d	S_p 公尺 (3) (公尺)	緩和綫的長度		$S_p = 900$ 公厘
		R	d (公尺)	
在弯道处軌距加寬之 值取决于弯道半径和車輛 的軌距，但根据計算其值 远小于 Δh (一般不超过 15公厘)。因此，按公式	6 8 9 12 15 20 30 35	4.0 3.0 2.7 2.0 1.6 1.2 0.8 0.7	6.0 4.5 4.0 3.0 2.4 1.8 1.2 1.0	

的长度和体积。因此，在目前的设计中一般都沒有采用緩和綫。

車輛在弯道上运行的轨迹

在講述計算弯道連接系統之前，还得先介紹車輛在弯道上运行的情况。設綫段 AB 为車箱沿轨道方向的中心綫(图10)，其长度为 L (对照图 11)， L_1 和 L_2 分别代表任一車輪的軸心至車箱前邊和後邊的垂直距离，5 和 6 两点表示車軸所在位置，軸距为 S_n 。

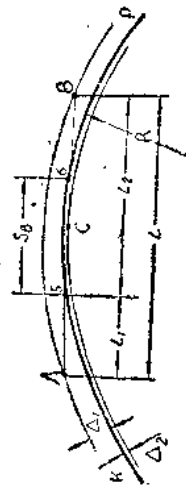


图 10 車輛在弯道上运行的轨迹

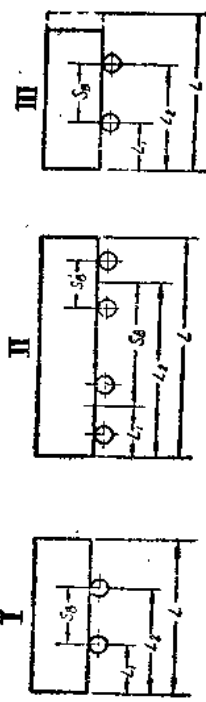


图 11 車輛的計算尺寸

很明显，当車輛在直綫道上运行时，整个車箱中心綫 AB 永远与轨道中心綫在同一垂平面内。但当車輛在弯道上运行时(图10)，中心綫的两个端点 A 和 B 就要凸出于轨道中心綫以外。其值 Δ_1 可用下列公式計算：

(3) 計算的緩和綫長度，是足以符合加寬軌距的要求。

在連接系統中加入了緩和綫以後，增加了其巷道(連接點)

$$\Delta_1 = -\frac{L^2 - S_n^2}{8R}; \quad (4)$$

当 $L_1 > K > L_2$ 时

$$\Delta_1 = \frac{(L^2 - S_a^2)K}{8RL_2}; \quad (5)$$

当 $K < L_1$ 时

$$\Delta_1 = \left(L_1 - \frac{K}{2} \right) \sin \beta. \quad (6)$$

式中 β —— 弯道的转角(度);

R —— 弯道半径(公尺);

$$K —— 弯道长度(公尺), \quad K = R - \frac{\beta}{57.3}.$$

此外, 我們从图10还可得知: 车箱中心綫 AB 的中点 C, 凸出于轨道中心綫的內側一个距离 Δ_2 . 其值用下列公式計算: 当 $K > S_a$ 时

$$\Delta_2 = \frac{S_a^2}{8R}; \quad (7)$$

当 $K < S_a$ 时

$$\Delta_2 = \frac{K^2}{8R} + \frac{S_a - K}{2} \sin \frac{\beta}{2}. \quad (8)$$

双軸车辆 Δ_2 之值很小, 可視之为零。

上述各計算公式还可以說明这样一个問題: 若把 Δ_1 和 Δ_2 之值給以一定限制, 比方說不許它們大于某一数值 U_1 和 U_2 , 那末就可以根据这些公式反算出在此情况下的弯道半径 R 。例如, 公式(4)的反算式为

$$R = \frac{L^2 - S_a^2}{8U_1} \quad (9)$$

异向弯道连接系統(繞路的平移)

若将綫路平行移动某一直距 S (图12), 车辆必须有两个

异向的弯道才能够把折断了的綫路連接起来。

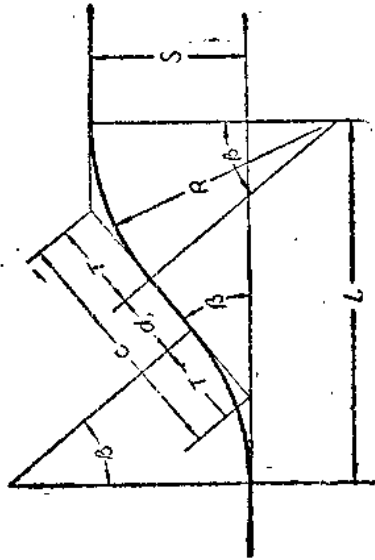


图 12 繩路的平移

設計时, 通常已知平移距离 S , 选定弯道半径 R ; 由此計算出連接系統中各部分的尺寸, 其程序如下:

1. 求两异向弯道之間, 直線部分的長度

$$d_1 = S_a + 2d$$

式中 S_a —— 在該繩路上运行的軸距最大的車輛的軸距, 公尺;

d —— 線和綫長度, 公尺。

2. 确定轉角

$$\beta = \delta - \arccos \sin \left(\frac{P}{d_1} \cos \delta \right)$$

$$P = 2R - S;$$

$$\delta = \arctg \frac{2R}{d_1}$$

3. 求连接系统的长度

$$L = 2R \sin \beta + d_1 \cos \beta$$

4. 求连接系统的斜长

$$C = 2R \cdot \operatorname{tg} \frac{\beta}{2} + d_1$$

按计算的结果，不管求得的 β 值如何，都不应该取 β 角大于90度：

双轨线路分支点
即

图13是双轨线路分支的连接点。由于车辆在弯道上的外伸，可能使在两条线路上的车辆之间的间隙小于保安规程的规定(200公厘)。因此必须在弯道与直线段连接处铺设一段“缓和弯道”。

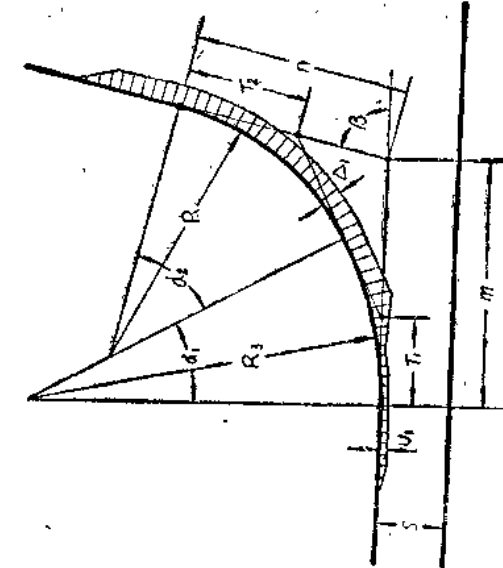


图13 双轨线路分支点

1. 根据公式(9)缓和弯道的半径

$$R_s = \frac{L^2 - S^2}{8U_1}$$

缓和弯道的作用是使车辆在直线段的外伸尺寸 U_1 ，小于在两线路上运行的车辆之间所容许的间隙减小的数值。例如，轨道中心线间的距离 $S = 1300$ 公厘，车辆的最大宽度 $B = 1030$ 公厘，保安规程容许车辆之间的最小间隙为200公厘，那末

$$U_1 = 1300 - 1030 - 200 = 70 \text{ 公厘.}$$

$$U_1 = S - B - 200 \text{ 公厘.}$$

2. 缓和弯道的转角

$$\alpha_1 = \arcsin \frac{L_1 + \sqrt{L_1^2 + 2R_s(\Delta_1 - U_1)}}{R_s}$$

式中 Δ_1 ——车轮在半径为 R 的基本弯道上的外伸尺寸，按公式(4)计算；

L_1 ——车辆的前轴至车厢前边的垂直距离(图11)。

3. 基本弯道的转角

$$\alpha_2 = \beta - \alpha_1.$$

4. 求 m 和 n 的长度

$$m = T_1 + (T_1 + T_2) \frac{\sin \alpha_2}{\sin \beta}$$

$$n = T_2 + (T_1 + T_2) \frac{\sin \alpha_1}{\sin \beta}$$

式中

$$T_1 = R_s \operatorname{tg} \frac{\alpha_1}{2}; \quad T_2 = R \operatorname{tg} \frac{\alpha_2}{2},$$

关于上述各公式的计算数值列于表4，该表是按各型电机

双轨线路分支点的尺寸

表 4

7-KP- ⁶⁰⁰ ₉₀₀ 型电机车:							$L = 4260$		$S_a = 1100$		$L_1 = 1580$		$R_3 = 35$ 公尺					
β°	$R = 12$ 公尺						$R = 15$ 公尺						$R = 20$ 公尺					
	α_1	α_2	T_1	T_2	m	n	α_1	α_2	T_1	T_2	m	n	α_1	α_2	T_1	T_2	m	n
30	7°56'	22°04'	2426	2340	6007	3654	7°16'	22°44'	2223	3015	6272	4340	6°28'	23°32'	1978	4166	6883	5550
40	7°56'	32°04'	2426	3449	7275	4709	7°16'	32°44'	2223	4406	7799	5710	6°28'	33°32'	1978	6026	8860	7428
45	7°56'	37°04'	2426	4022	7922	5279	7°16'	37°44'	2223	5127	8589	6442	6°28'	33°32'	1978	6990	9879	8418
50	7°56'	42°04'	2426	4612	8584	5881	7°16'	42°44'	2223	5868	9397	7204	6°28'	43°32'	1978	7986	10938	9451
55	7°56'	47°04'	2426	5226	9364	6514	7°16'	47°44'	2223	6536	10226	8004	6°28'	48°32'	1978	9016	12035	10528
60	7°56'	52°04'	2426	5861	9975	7179	7°16'	52°44'	2223	7486	11100	8847	6°28'	53°32'	1978	10090	13184	11659
65	7°56'	57°04'	2426	6526	10716	7888	7°16'	57°44'	2223	8268	12012	9733	6°28'	58°32'	1978	11208	14387	12841
70	7°56'	62°04'	2426	7220	11495	8635	7°16'	62°44'	2223	9144	12975	10674	6°28'	63°32'	1978	12384	15659	14106
90	7°56'	82°04'	2426	10444	15172	12219	7°16'	82°44'	2223	13209	17532	15161	6°28'	83°32'	1978	17862	21693	20096
8-APB- ⁶⁰⁰ ₉₀₀ 型电机车:							$L = 4550$		$S_a = 1100$		$L_1 = 1725$		$R_3 = 35$ 公尺					
β°	$R = 12$ 公尺						$R = 15$ 公尺						$R = 20$ 公尺					
	α_1	α_2	T_1	T_2	m	n	α_1	α_2	T_1	T_2	m	n	α_1	α_2	T_1	T_2	m	n
30	8°36'	21°24'	2632	2268	6208	3733	7°53'	22°07'	2412	2932	6436	4397	7°03'	22°57'	2153	4058	6996	5583
40	8°36'	31°24'	2632	3373	7499	4770	7°53'	32°07'	2412	4318	7978	5717	7°03'	32°57'	2153	5915	8979	7456
45	8°36'	36°24'	2632	3945	8150	5333	7°53'	37°07'	2412	5036	8767	6480	7°03'	37°57'	2153	6877	10007	8446
50	8°36'	41°24'	2632	4534	8818	5933	7°53'	42°07'	2412	5775	9579	7240	7°03'	42°57'	2153	7868	11066	9474
55	8°36'	46°24'	2632	5143	9505	6662	7°53'	47°07'	2412	6540	10419	8039	7°03'	47°57'	2153	8894	12167	10580
60	8°36'	51°24'	2632	5776	10216	7227	7°53'	52°07'	2412	7335	11296	8878	7°03'	52°57'	2153	9961	13817	11679
65	8°36'	56°24'	2632	6434	10964	7929	7°53'	57°07'	2412	7828	11901	9377	7°03'	57°57'	2153	11075	14524	12867
70	8°36'	61°24'	2632	7126	11749	8678	7°53'	62°07'	2412	9034	13179	10704	7°03'	62°57'	2153	12244	16797	14126
90	8°36'	81°24'	2632	10321	15440	12267	7°53'	62°07'	2412	13066	17744	15188	7°03'	62°57'	2153	17678	21883	20113
10-KP- ⁶⁰⁰ ₉₀₀ 型电机车:							$L = 4240$		$S_a = 1100$		$L_1 = 1570$		$R_3 = 30$ 公尺					
β°	$R = 12$ 公尺						$R = 15$ 公尺						$R = 20$ 公尺					
	α_1	α_2	T_1	T_2	m	n	α_1	α_2	T_1	T_2	m	n	α_1	α_2	T_1	T_2	m	n
30	8°47'	21°13'	2301	2243	5594	3637	7°57'	22°03'	2088	2924	5851	4311	7°06'	22°54'	1863	4052	6466	5513
40	8°47'	31°13'	2301	3352	6859	4685	7°57'	32°03'	2088	4308	7365	5683	7°06'	32°54'	1863	5904	8450	7397
45	8°47'	36°13'	2301	3925	7511	5275	7°57'	37°03'	2088	5026	8151	6417	7°06'	37°54'	1863	6868	9448	8392
50	8°47'	41°13'	2301	4513	8162	5871	7°57'	42°03'	2088	5766	8955	7184	7°06'	42°54'	1863	7858	10601	9418
55	8°47'	46°13'	2301	5121	8842	6504	7°57'	47°03'	2088	6530	9789	7986	7°06'	47°54'	1863	8882	11595	10503
60	8°47'	51°13'	2301	5752	9549	7172	7°57'	52°03'	2088	7324	10368	8827	7°06'	52°54'	1863	9950	12743	11635
65	8°47'	56°13'	2301	6410	10290	7878	7°57'	57°03'	2088	8153	11571	9716	7°06'	57°54'	1863	11062	13944	12823
70	8°47'	61°13'	2301	7089	11068	8626	7°57'	62°03'	2088	9022	12531	10657	7°06'	62°54'	1863	12232	15215	14084
90	8°47'	81°13'	2301	10316	14770	12243	7°57'	82°03'	2088	13052	17083	15147	7°06'	82°54'	1863	17662	21238	20073
10-KP- ⁶⁰⁰ ₉₀₀ 型电机车:							$L = 4240$		$S_a = 1100$		$L_1 = 1570$		$R_3 = 35$ 公尺					
β°	$R = 12$ 公尺						$R = 15$ 公尺						$R = 20$ 公尺					
	α_1	α_2	T_1	T_2	m	n	α_1	α_2	T_1	T_2	m	n	α_1	α_2	T_1	T_2	m	n
30	7°49'	22°11'	2390	2852	5970	3642	7°14'	22°46'	2212	3020	6262	4937	6°28'	23°32'	1978	4166	6883	5550
40	7°49'	32°11'	2390	3461	7289	4699	7°14'	32°46'	2212	4410	7787	5707	6°28'	33°32'	1978	6026	8860	7428
45	7°49'	37°11'	2390	4110	7946	5360	7°14'	37°46'	2212	5132	8572	6439	6°28'	38°32'	1978	6990	9879	8418
50	7°49'	42°11'	2390	4628	8542	5826	7°14'	42°46'	2212	5876	9381	7206	6°28'	43°32'	1978	7986	10938	9451
65	7°49'	47°11'	2390	5241	9223	6508	7°14'	47°46'	2212	6642	10214	8001	6°28'	48°32'	1978	9016	12035	10528
60	7°49'	52°11'	2390	5877	9931	7175	7°14'	52°46'	2212	7440	11082	8842	6°28'	53°32'	1978	10090	13184	11659
65	7°49'	57°11'	2390	6540	10671	7880	7°14'	57°46'	2212	8274	11999	9731	6°28'	58°32'	1978	11208	14387	12841
70	7°49'	62°11'	2390	7236	11450	8629	7°14'	62°46'	2212	9150	12960	10672	6°28'	63°32'	1978	12384	15659	14106
90	7°49'	82°11'	2390	10465	15130	12213	7°14'	82°46'	2212	13215	17516	15157	6°28'	83°32'	1978	17862	21693	20096

車的尺寸來編制的。如果在線路上只有單車運行，則沒有必要再鋪設緩和弯道。線路上若有材料車運行時，公式中 L_1 之值，應按材料伸出車身的長度（至車軸算起）計算。

双軌弯道

由于車輛在弯道上外伸，必須增加双軌弯道兩軌道中心綫間的距離。其方法有二：

(一) 移動內側綫路。

图14即是在內側弯道的兩末端，各鋪設一段半徑為 R_s 的緩和弯道，使綫路中心綫間的距離由 S 增加到 S' 。并且，应在弯道的起點處，就能获得加寬的全值 ΔS 。

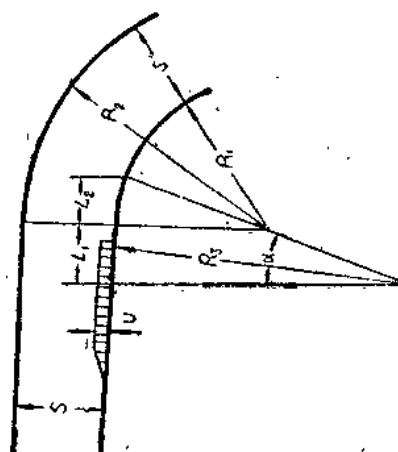


图14 双軌弯道

1. 在弯道上，任何地點綫路中心綫間的距離

$$S' = S + \Delta S,$$

式中 ΔS 等于公式(4)与公式(7)兩式相加，即

$$\Delta S = \Delta_1 + \Delta_2 = \frac{L^2}{8R}$$

矿山標準巷道取 $\Delta S = 300$ 公厘。当 $S = 1300$ 公厘时(600公厘軌距)， $S' = 1600$ 公厘。当 $S = 1600$ 公厘时(900公厘軌距)， $S' = 1900$ 公厘。

2. 緩和弯道的半徑 R_s 按公式(9)計算。
3. 外側弯道的半徑 $R_2 = R_1 + S'$ 。

4. 緩和弯道的轉角

$$\alpha = \arccos \left(1 - \frac{S' - S}{R_s - R_1} \right)$$

5. 求

$$L_1 = (R_s - R_1) \sin \alpha$$

$$L_2 = R_1 \sin \alpha$$

双軌弯道移动內側綫路各部分的尺寸 表 5

R ₁ 公尺	R ₃ = 30 公尺			R ₃ = 35 公尺			
	R ₂	α	L ₁	R ₂		α	L ₁
				S = 1.8	S = 1.6		
12	13.6	13.9	10°30'	3.280	13.6	13.9	9°18'
15	16.6	16.9	11°29'	2.729	16.6	16.9	9°56'
20	21.6	21.9	14°5'	2.438	21.6	21.9	11°29'
							2.987

(二) 移動外側綫路。

這個方法是在弯道的兩端把外側綫路的直線段向外平移一個距離 ΔS ，从而使綫路中心綫間的距離由 S 增加至 S' 。由於這個方法不如移動內側綫路優越，在實際中很少采用。

第3节 道岔与弯道的连接

单侧分岔点

图15是单轨线路分岔最常用的方法。在設計時，已知